

پایش روند تغییرات پوشش زمین در شهر کرمانشاه با مدل CA مارکوف

علی اکبر شمسی‌پور^{*} – دانشیار دانشکده جغرافیا، دانشگاه تهران
سوسن حیدری – دانشآموخته کارشناسی ارشد آب و هواشناسی ماهواره‌ای، دانشکده جغرافیا، دانشگاه تهران
کیوان باقری – دانشجوی دکتری سنجش از دور و GIS دانشکده جغرافیا، دانشگاه تهران

پذیرش مقاله: ۱۳۹۵/۰۶/۱۰ تأیید مقاله: ۱۳۹۶/۰۷/۱۹

چکیده

برنامه‌ریزی‌های مختلف و توسعه‌پایدار شهری، مستلزم ارزیابی و پیش‌بینی صحیح مقادیر تغییرات کاربری اراضی نواحی شهری است. همچنین پایش تغییرات کاربری اراضی با استفاده از تصاویر ماهواره‌ای و پیش‌بینی این تغییرات با مدل سازی و اتخاذ سیاست‌های مدیریتی مؤثر، در راستای برنامه‌ریزی مطلوب شهری قرار دارد. هدف پژوهش، پایش، شبیه‌سازی و پیش‌بینی گسترش شهر کرمانشاه با ترکیب مدل سلول خودکار، زنجیره‌ای مارکوف و رگرسیون لجستیک است. با این هدف نخست نقشه‌های کلاس‌های پوشش زمین کرمانشاه با استفاده از تصاویر چندماهه ماهواره‌ای لندست سال‌های ۱۹۸۵، ۲۰۰۰ و ۲۰۱۳ و تهیه، سپس صحت‌سنجی نقشه‌ها و آشکارسازی تغییرات انجام شده است. آشکارسازی تغییرات دوره اول (۱۹۸۵-۲۰۰۰) و دوره دوم (۲۰۱۳-۲۰۰۰) نشان می‌دهد که در سه دهه اخیر نواحی شهری به مقدار ۶۵۴۱ هکتار افزایش داشته است. براساس این تغییرات و انتخاب ۷ معیار مؤثر در رشد و توسعه شهر، مدل سازی پتانسیل تبدیل کاربری برای سال ۲۰۱۳، با استفاده از روش رگرسیون لجستیک انجام شد. درادامه، برای کالیبره کردن مدل CA مارکوف، نقشه کاربری سال ۲۰۱۳ استفاده شد سپس با روش زنجیره مارکوف برآورد احتمال میزان تغییرات و توزیع مکانی آن‌ها برای سال ۲۰۲۶، و نقشه کلاس‌های پوشش زمین برای چشم‌انداز ۲۰۲۶ با مدل زنجیره CA مارکوف پیش‌بینی شد. نتایج آن هم نشان می‌دهد که به ترتیب مقدار زیادی از مساحت کلاس‌های مناطق کوهستانی، پوشش گیاهی، صخره‌ای و سطوح آبی به کاربری شهری تبدیل خواهند شد.

کلیدواژه‌ها: تغییر کلاس‌های پوشش زمین، کرمانشاه، مدل CA مارکوف.

مقدمه

زمین یکی از منابع طبیعی اولیه است. شهر نه تنها با جمعیت بلکه با تعییر در ابعاد فضایی رشد می‌کند. تحول زمین فرایندی طبیعی است و نمی‌تواند متوقف شود، اما می‌توان آن را مدیریت کرد. نظارت بر چگونگی تفکیک اراضی، ضوابط منطقه‌بندی شهرها به مناطق مسکونی، تجاری، صنعتی، اداری و ضوابط مربوط به استفاده از اراضی شهری یکی از مهم‌ترین مسائل زندگی شهر است؛ بنابراین، کلاس‌های پوشش زمین یکی از مفاهیم پایه در برنامه‌ریزی شهری و منطقه‌ای به شمار می‌آید (Doygun, 2008: 471). بر اساس این، برنامه‌ریزی کلاس‌های پوشش زمین، مجموعه فعالیت‌هایی است که محیط انسانی را مطابق خواسته‌ها و نیازهای جامعه شهری سامان می‌بخشد و این مقوله، هسته اصلی برنامه‌ریزی شهری را تشکیل می‌دهد (احدثزاد، ۱۳۹۲: ۷). کرمانشاه یکی شهرهای بزرگ و پرجمعیت کشور است که به دلایلی از جمله مرکزیت استان، رشد سریع جمعیت، مهاجرت روستاییان و شهری سایر شهرستان‌های اطراف رشد فیزیکی و به تبع آن تعییرات پوشش زمین از جمله تعییر اراضی مرتع و کشاورزی به مکان‌های شهری است که به طور فزاینده‌ای در چند دهه اخیر رخ داده است؛ بنابراین، برای برنامه‌ریزی و توسعه پایدار به درک چگونگی و نحوه تعییرات پوشش اراضی و پیش‌بینی این تعییرات در آینده نیاز است (برات‌علی، ۱۳۹۰).

گفتنی است تعییر کاربری و پوشش اراضی فرایند دینامیک و پیچیده‌ای است که از تلاقی سیستم‌های طبیعی و انسانی به دست می‌آید و آثار مستقیمی بر آب، خاک و هوا دارد. وقوع این پدیده پیامدهای اقتصادی، اجتماعی و زیست‌محیطی در مقیاس محلی، ناحیه‌ای و جهانی به همراه خواهد داشت (Koomen و همکاران، ۲۰۰۷: ۴۱۰)؛ بنابراین، در برنامه‌ریزی و مدیریت بهینه شهری و محیط‌زیست آگاهی از نسبت تعییرات کاربری اراضی / پوشش زمین و عوامل ایجاد‌کننده آن از ضروریات محسوب می‌شود. در این زمینه داده‌های سنجش‌ازدور^۱ به دلیل داشتن ویژگی‌هایی مانند پوشش وسیع، به هنگام بودن، تکرارپذیری، توان تفکیک بالای مکانی، طیفی و رادیومتریک قابلیت بالایی برای بررسی تعییرات زمانی و مکانی تعییر کلاس‌های پوشش زمینی دارد (Jensen, 2007: 592). سنجش‌ازدور ابزار مؤثری برای پایش تعییرات و پشتیبانی از تصمیم‌گیری در برنامه‌ریزی شهری است. در این بین، تصاویر دوره‌ای ماهواره‌لنست یکی از مهم‌ترین منابع داده‌ای برای مطالعه انواع مختلف تعییر کاربری و پوشش اراضی، از قبیل جنگل‌زدایی (Mayes et al., 2015; Wyman & Stein, 2010)، افزایش و گسترش کشاورزی، بهینه‌سازی کلاس‌های پوشش شهری استخراج اطلاعات از تصاویر ماهواره‌ای بهوسیله طبقه‌بندی^۲ از پرکاربردترین روش‌های موجود است (میرزاپی‌زاده، ۱۳۹۴: ۳۰). یکی از کاربردهای طبقه‌بندی تصاویر ماهواره‌ای بررسی و کشف تعییرات^۳ به وجود آمده در پدیده‌هایی است که ماهیت زمانی-مکانی دارند. درواقع، کشف تعییرات به فرایند شناسایی و تعیین نوع و وسعت پوشش یا کلاس‌های پوشش زمین در یک دوره زمانی با استفاده از تصاویر سنجش‌ازدور گفته می‌شود (Coppin et al., 2004: 1575).

1. remote sensing

2. Classification

3. Change detection

ارزیابی روند گذشته تغییرات ایجادشده در شهرها، پیش‌بینی روند گسترش شهرها و مدل سازی آن در آینده با روش‌های دقیق برای مدیریت و کنترل گسترش شهری بیش از پیش ضرورت می‌یابد. مدل سازی رشد شهری و تغییرات صورت گرفته در کاربری جزء جدایی ناپذیر از برنامه‌ریزی برای توسعهٔ پایدار است (کاظم و همکاران، ۱۳۹۵؛ بنایراین، پیش‌بینی و ارزیابی پتانسیل و تغییرات الگوهای کاربری زمین از طریق مدل سازی به برنامه‌ریزان و مدیران شهری، محیط زیست و منابع طبیعی برای تصمیمات آگاهانه‌تر کمک می‌کند).

تحقیقات بسیاری درمورد مدل سازی رشد شهری انجام شده که هریک به نحوی سعی در کشف ارتباط بین رشد شهر و متغیرهای مؤثر در آن داشته است، اما با توجه به ماهیت و پویایی شهر و وابستگی زیاد آن به رفتارهای انسانی، پدیده جدیدی را رقم زده که با پدیده‌های طبیعی متفاوت است (همان). کاظم و همکاران (۱۳۹۴)، در پژوهشی به مدل سازی رشد شهری با استفاده از تصاویر ماهواره‌ای پرداختند و با روش سلول‌های اتمات و پارامترهای طبیعی و انسانی مختلفی از جمله ارتفاع، فاصله از اراضی باز و مکان‌های انسان‌ساخت پیش‌بینی رشد شهر را بررسی کردند. نمونه‌هایی دیگر از مطالعات ارزیابی و پیش‌بینی تغییرات کاربری اراضی با استفاده از مدل CA- Markov انجام شده است؛ مانند منطقه‌ای در پکن (Yang, 2014)، صحراي ساحلي شمال غربى مصر (Marwa Waseem et al., 2015) در چين Foshan، (Aburas et al., 2017)، در چين (Gong et al., 2015) و (Yu et al., 2016) واقع در مالزى (Seremban) واقع در مالزى (Yu et al., 2016) و (Aburas et al., 2017).

نوری و همکاران (۲۰۱۴) در پژوهش خود به شبیه سازی شهرستان انزلي برای سال ۲۰۲۱ با استفاده از مدل CA مارکوف پرداخته، دریافتند که کاهش $10/64$ درصد در جنگل، $8/52$ درصد در تالاب انزلي و $11/54$ درصد در زمین باز در طول سال $2021 - 1989$ و روند رو به رشد $7/1$ درصد در مناطق شهری برای این مدت‌زمان رخ خواهد داد. همچنین در سال ۲۰۲۱-۱۹۸۹ در پژوهش خود به پیش‌بینی شهرستان Dehradun واقع در هندوستان با استفاده از مدل Deep و Saklani (2014) کارکوف پرداخته که ضریب صحت استخراج شده، نشان دهنده قابلیت بالای این مدل برای شبیه سازی تغییرات کاربری شهری در منطقه مطالعه است (شاخص کاپا = $0/91$). باقری و شتابی جویباری (۱۳۸۹) از رگرسیون لجستیک^۱ برای مدل سازی کاهش گستره جنگل در حوضه آبخیز چهل‌چای استان گلستان استفاده کردند. همچنین برای بررسی ارتباط مکانی کاهش جنگل با عوامل فیزیوگرافی و انسانی، رگرسیون لجستیک را با متغیرهای شیب، جهت، ارتفاع و متغیرهای انسانی فاصله از جاده، روستا و مقدار جمعیت به کار بردند. نتایج نشان داد توافق نسبی مدل به دست آمده با نقشه کاهش گستره جنگل است. Arsanjani و همکاران (۲۰۱۳) به منظور مدل سازی رشد، توسعه شهر تهران را برای سال ۲۰۱۶ و ۲۰۲۶ با استفاده ترکیبی شامل رگرسیون لجستیک، مارکوف و سلول‌های خودکار بررسی کردند. آن‌ها به صحت ۸۹ درصدی دست یافتند که نشان دهنده دقت بالای مدل بود و بیان کردند که رشد زیادی در دهه‌های آینده در حاشیه غربی تهران رخ خواهد داد. نمونه‌هایی دیگر از مطالعات ارزیابی و پیش‌بینی تغییرات کلاس‌های پوشش زمین با استفاده از مدل CA- Markov انجام شده است؛ مانند تغییرات پوشش اراضی در شهر اصفهان (فلاحت‌کار، ۱۳۸۸)، تغییرات کاربری اراضی و پوشش زمین در حومه جنوب غربی تهران (علی‌محمدی، ۱۳۸۹)، تغییرات

پوشش گیاهی منطقه ۴ شهرداری تهران (سرودی و جوزی، ۱۳۹۰)، تغییرات پوشش اراضی منطقه رودخانه آقبلاغ (کاوه و ابراهیمی، ۱۳۹۲)، روند تغییرات مکانی کاربری کوهمره سرخی استان فارس (عزیزی قلاتی، ۱۳۹۵)، گسترش فیزیکی شهر رباط‌کریم و تأثیر آن بر روی اراضی کشاورزی (صادی‌لو و امینی، ۱۳۹۵)، تغییرات بیابان‌زایی در شرق و جنوب اصفهان (حلیان، ۱۳۹۵).

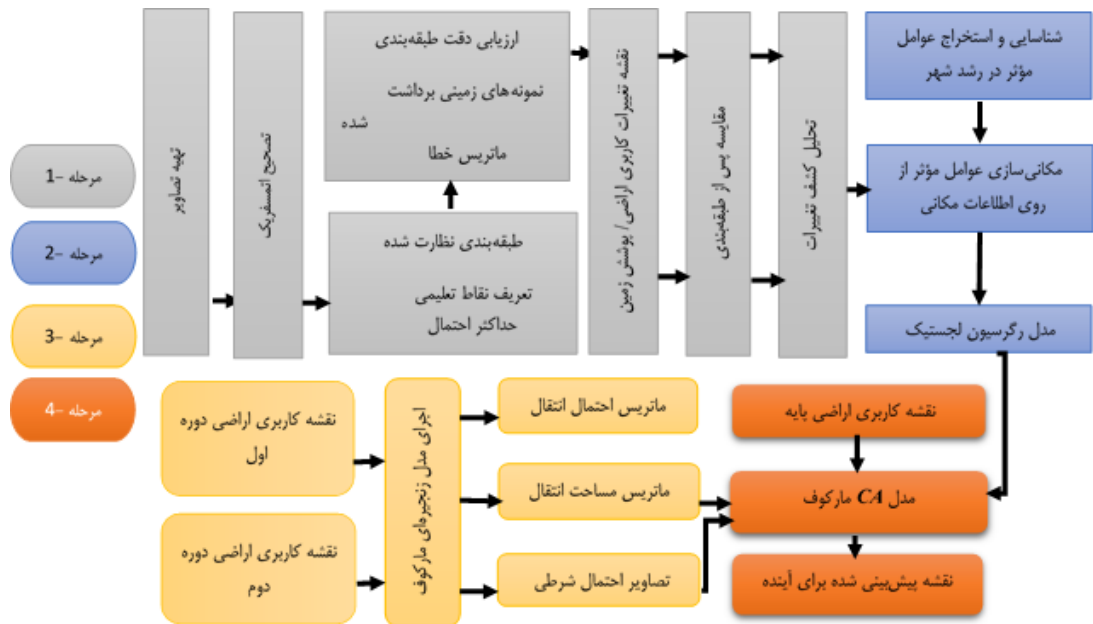
باقری و شتایی جویباری (۱۳۸۹) از رگرسیون لجستیک^۱ برای مدل‌سازی کاهش گستره جنگل در حوزه آبخیز چهل‌چای استان گلستان استفاده کردند. همچنین برای بررسی ارتباط مکانی کاهش جنگل با عوامل فیزیوگرافی و انسانی، رگرسیون لجستیک را با متغیرهای شب، جهت، ارتفاع و متغیرهای انسانی فاصله از جاده، روستا و مقدار جمعیت به کار برداشت و دریافتند که توافق نسبی مدل به دست آمده با نقشه کاهش گستره جنگل است. Arsanjani و همکاران (۲۰۱۳) برای مدل‌سازی رشد، توسعه شهر تهران را برای سال ۲۰۱۶ و ۲۰۲۶ با استفاده ترکیبی شامل رگرسیون لجستیک، مارکوف و سلول‌های خودکار بررسی کردند و به صحت ۸۹ درصدی دست یافتند که نشان‌دهنده دقیق بالای مدل بود، همچنین بیان کردند که رشد زیادی در دهه‌های آینده در حاشیه غربی تهران رخ خواهد داد.

با توجه به بررسی پیشینه تحقیقات انجام شده، مطالعه‌ای در ارتباط با پیش‌بینی گسترش شهر با مدل‌سازی CA-Markov در منطقه مورد نظر انجام نشده است؛ بنابراین، پژوهش حاضر با هدف بررسی تغییرات مناطق شهر کرمانشاه با تصاویر ماهواره‌ای لندست در سه دهه اخیر (۱۹۸۵-۲۰۱۳) و همچنین پیش‌بینی روند تغییرات در سال ۲۰۲۶ با استفاده از مدل‌های رگرسیون لجستیک، زنجیره‌ای مارکوف و CA-Markov صورت گرفته است.

داده‌ها و روش‌شناسی پژوهش

مراحل کلی اجرای پژوهش شامل چهار دسته کلی زیر است:

۱. تهیه نقشه‌های کلاس‌های پوشش زمین در سه دوره مورد مطالعه و آشکارسازی تغییرات؛
۲. بررسی عوامل مؤثر در رشد شهری و تغییرات کلاس‌های پوشش زمین، همچنین نقشه احتمال گسترش شهری (با استفاده از مدل رگرسیون لجستیک) برای دوره‌های آتی؛
۳. برآورد میزان تغییرات و توزیع مکانی آن‌ها که برای این کار از روش‌های تحلیل زنجیره‌ای مارکوف استفاده شده است؛
۴. اجرای مدل CA مارکوف و پیش‌بینی تغییرات کلاس‌های پوشش زمین در منطقه مورد مطالعه (شکل ۱).



شکل ۱. طرح‌واره مراحل اجرای پژوهش

طبقه‌بندی تصاویر و تهیه نقشه کلاس‌های پوشش زمین

یکی از راه‌های تهیه نقشه‌های پوشش زمین استفاده از داده‌های ماهواره‌ای و فرایند طبقه‌بندی تصاویر است؛ بدین منظور، تصاویر چند زمانه استفاده شده در پژوهش حاضر پس از تصحیح اتمسفری QUAC¹، برای تهیه نقشه کلاس‌های پوشش زمین طبقه‌بندی، و تعداد کلاس‌ها نیز با توجه به تصاویر و نقشه‌های موجود، شرایط منطقه مورد مطالعه و اهداف پژوهش حاضر انتخاب شد. درنهایت با استفاده از نرم افزار ENVI، تصاویر با الگوریتم حداکثر احتمال طبقه‌بندی شدند. ماهیت طبقه‌بندی حداکثر احتمال اختصاص یک پیکسل به طبقه‌ای است که احتمال طبقه‌بندی براساس اطلاعات موجود از داده‌های آموزشی در آن حداکثر میزان خود باشد. در این روش ابتدا میزان احتمال هر پیکسل به هر کلاس از قبل تعریف شده و محاسبه می‌شود و کلاسی که بیشترین میزان احتمال را داشته باشد، پیکسل تست مختص آن است (رابطه ۱). فرض روش حداکثر احتمال این است که آمارهای داده‌های آموزشی برای هر کلاس و در هر باند به صورت نرمال (گوسین) توزیع شده‌اند. نخستین مرحله این طبقه محاسبه احتمال $P(X|w_i)$ است؛ یعنی کلاسی به پیکسل مورد نظر انتساب داده می‌شود که بیشترین احتمال تعلق پیکسل به آن کلاس وجود دارد (زنگنه، ۱۳۹۳: ۴۸۸).

$$(x|w_i) = \frac{1}{(2\pi)^{\frac{1}{2}\hat{\sigma}_i^2}} \exp \left[-\frac{1}{2} \frac{(x-\hat{\mu}_i)^2}{\hat{\sigma}_i^2} \right] \quad (1)$$

در این فرمول x بردار مقادیر طیفی و w_i کلاس طیفی i در یک طبقه خاص‌اند. $\hat{\sigma}_i$ نیز میزان انحراف معیار و μ مقدار میانگین کلاس طیفی هستند. کلاس مربوط برای اختصاص دادن یک پیکسل به یک کلاس بعد از محاسبه

1. Quick Atmospheric Correction

2. Maximum likelihood Algorithm

احتمال قرارگرفتن پیکسل تست در هر کلاس، کلاسی که بیشترین میزان احتمال را دارد، پیکسل تحت نظر را برای خود درنظر می‌گیرد (Jensen, 2005: 374-379).

شایان ذکر است که برای بیان و ارزیابی صحت طبقه‌بندی از ماتریس خطأ^۱ استفاده می‌شود. جدول خطأ روابط میان داده‌های یک منبع مشخص با نتایج مربوط به طبقه‌بندی خودکار را به صورت طبقه به طبقه مقایسه می‌کند. این جدول مرربع شکل است و تعداد سطر و ستون آن با تعداد طبقاتی که صحت طبقه‌بندی آن‌ها ارزیابی می‌شود برابر است (توماس و همکاران، ۱۳۸۷: ۶۸۲). با تقسیم تعداد کل پیکسل‌های طبقه‌بندی در هر طبقه بر تعداد کل پیکسل‌های تحت طبقه‌بندی، دقت کلی^۲ به دست می‌آید. ضریب کاپا یکی دیگر از پارامترهای دقت است که از ماتریس خطأ استخراج می‌شود و دقت طبقه‌بندی را در برابر یک طبقه‌بندی کاملاً تصادفی محاسبه می‌کند (فاطمی و باقری، ۱۳۸۹: ۲۴۰ به نقل از ۱۹۹۵ Richard). این ضریب از معادله زیر به دست می‌آید.

$$K = \frac{N \sum_{i=1}^r X_{ii} - \sum_{i=1}^r X_{i+} X_{+i}}{N^2 - \sum_{i=1}^r X_{i+} X_{+i}} \quad (2)$$

در این معادله N تعداد کل پیکسل‌های واقعیت زمینی (پیکسل‌های نمونه تعلیمی)، r تعداد ردیف‌های جدول خطأ، X_{ii} تعداد مشاهدات مربوط به ردیف i و ستون i (در روی قطر بزرگ)، X_{i+} مشاهدات در ردیف i و X_{+i} کل مشاهدات در ستون i است. ضریب کاپا علاوه‌بر عناصر قطری ماتریس خطأ از عناصر غیرقطیری نیز برای محاسبه دقت استفاده می‌کند. مقادیر این ضریب بین صفر تا یک قرار می‌گیرد. مقدار صفر یعنی طبقه‌بندی کاملاً تصادفی انجام شده و مقدار یک یعنی طبقه‌بندی کاملاً صحیح و براساس نمونه‌های تعلیمی است (زنگنه، ۱۳۹۳).

آشکارسازی تغییرات

آشکارسازی تغییرات، فرایند شناسایی تفاوت‌ها در وضعیت یک شیء یا پدیده با مشاهده آن در زمان‌های متفاوت است (Lu et al, 2004: 2366). روش‌های گوناگونی برای این آشکارسازی وجود دارد. یکی از این روش‌ها مقایسه پس از طبقه‌بندی^۳ است؛ بنابراین، در پژوهش حاضر برای شناسایی تغییرات از روش مقایسه پس از طبقه‌بندی استفاده شده است. در این روش دو نقشه به صورت پیکسل به پیکسل با استفاده از ماتریس شناسایی تغییرات با هم مقایسه می‌شوند. هر خطأ در نقشه‌های طبقه‌بندی شده به نتیجه نهایی نقشه شناسایی تغییرات نیز منتقل می‌شود؛ بنابراین ضروری است نقشه طبقه‌بندی شده به کاررفته در روش مذکور حتی الامکان دقیق باشد. دقت در نقشه خروجی شناسایی تغییرات به دقت نقشه‌های طبقه‌بندی شده بستگی دارد.

پس از آشکارسازی تغییرات عوامل مؤثر بر گسترش شهر نیز با مرور مطالعات قبلی و با توجه به ویژگی‌های منطقه انتخاب شدند. این عوامل عبارت‌اند از ارتفاع و شب منطقه، فاصله از پوشش گیاهی، فاصله از نواحی ساخته شده شهری، فاصله از نواحی کوهستانی و صخره‌ای، فاصله از شبکه راه‌ها (جاده) و فاصله از رودخانه (عبدی، ۱۳۹۵).

1. Error table

2. Overall accuracy

3. Post-Classification Comparison

رگرسیون لجستیک

رگرسیون لجستیک یکی از انواع مدل‌های خطی تعمیم‌یافته است که برای تجزیه و تحلیل وجود یا نبود متغیر وابسته بسیار مناسب، و برای پیش‌بینی ناپایداری دامنه‌ای استفاده شده است (Dai & Lee, 2002: 214؛ Rowbotham & Dudycha, 1998). این نوع تحلیل رگرسیونی برای محاسبه رابطه بین یک یا چند متغیر مستقل پیوسته با متغیر وابسته باینری به کار می‌رود. فرض بنیادی این رگرسیون براساس این است که احتمال وابسته‌ای که مقدار یک را به خود می‌گیرد (واکنش مثبت) منحنی لجستیک را دنبال می‌کند (کاظم و همکاران، ۱۳۹۴: ۴۹). برآورد مقدار آن نیز با استفاده از رابطه ۳ انجام می‌شود:

$$p(y = 1|x) = \frac{\exp(\sum BX)}{1 + \exp(\sum BX)} \quad (3)$$

در این رابطه p احتمال متغیر وابسته‌ای که مقدارش یک است، x متغیرهای مستقل را تشکیل می‌دهد؛ به طوری که $x = (x_0, x_1, x_2, \dots, x_k)$ ، $x_0 = 1$ پارامترهای برآورده شده هستند، به گونه‌ای که برای خطا کردن مدل فوق معمولاً تبدیل رابطه ۴ اعمال می‌شود، این رابطه به Logit یا لجستیک مشهور است.

$$P' = \ln\left(\frac{P}{1 - P}\right) \quad (4)$$

مدل زنجیره‌ای مارکوف

زنジرهای مارکوف کاربردهای گسترده‌ای در مدل‌سازی تغییرات کلاس‌های پوشش زمین و پیش‌بینی آن دارد (Wu et al., 2006: 332). در تحلیل این زنجیرهای از طبقه‌های با عنوان حالت یا همان وضعیت‌های^۱ زنجیر استفاده شده است. این زنجیره برای تعیین احتمال تغییر، حداقل به دو نقشه کلاس‌های پوشش زمین (ورودی‌های مدل) نیاز دارد که معمولاً این نوع داده‌ها با استفاده از پردازش تصاویر ماهواره‌ای به دست می‌آید (Mitsova et al., 2011: 143). گفتنی است تحلیل زنجیره‌ای مارکوف برای دو منظور تهیه می‌شود. ماتریس اول به منظور کالیبراسیون و ماتریس دوم برای شبیه‌سازی تغییرات احتمالی رخداده در آینده. خروجی مدل نیز شامل احتمال تبدیل وضعیت، ماتریس مساحت‌های تبدیل شده^۲ هر طبقه و در پایان تصاویر احتمالات شرطی^۳ برای تبدیل کاربری‌های مختلف است (Weng, 2002: 277). براساس احتمال شرطی فرمول بیز، پیش‌بینی تغییر کلاس‌های پوشش زمین در مدل زنجیره‌ای مارکوف با استفاده از رابطه ۵ محاسبه می‌شود (Sang et al., 2011: 939).

$$s(t+1) = p_{ij} \times s(t) \quad (5)$$

در این رابطه، $s(t)$ و $(t+1)$ حالت‌های سیستم در زمان t و $t+1$ هستند، و p_{ij} ماتریس احتمال در یک حالت است که از طریق رابطه ۶ محاسبه می‌شود.

1. States

2. Transition Areas Matrix

3. Conditional Probability Images

$$p_{ij} = \begin{bmatrix} p_{11} & p_{12} & \dots & p_{1n} \\ p_{21} & p_{22} & \dots & p_{2n} \\ \dots & \dots & \dots & \dots \\ p_{n1} & p_{n2} & \dots & p_{nn} \end{bmatrix} \quad (6)$$

$$\left(0 \leq p_{ij} < 1 \text{ and } \sum_{j=1}^n p_{ij} = 1, (i, j = 1, 2, \dots, n) \right)$$

مدل سلول‌های خودکار (CA)

مدل‌های خودکار سلولی (CA) و زنجیره‌ای مارکوف مفاهیمی هستند که در شاخه‌های مختلف علوم پایه استفاده می‌شوند (Ghosh, 2017). خودکارهای سلولی (CA) سیستم دینامیک گسسته‌ای هستند که در آن فضا به سلول‌های مکانی منظم یا نامنظمی تقسیم شده‌اند و زمان در آن به صورت گام‌های گسسته طی می‌شود. وضعیت هر سلول بر پایه قوانین محلی به صورت هم‌زمان به‌هنگام می‌گردد؛ یعنی وضعیت هر سلول و وضعیت‌های همسایگانش در زمان پیشین است (Sang, 2011: 940). مدل سلول‌های خودکار را می‌توان از رابطه زیر به‌دست آورد (Wolfram, 1984:34).

$$S(t, t + 1) = f(s(t), N) \quad (7)$$

در رابطه فوق، S مجموعه محدود و مجزا از حالت‌های سلولی، N زمینه سلولی، t و $t + 1$ نشان‌دهنده زمان‌های مختلف و f قوانین انتقال حالت‌های سلولی در انتقال حالت‌های سلولی در فضای محلی است.

مدل تلفیقی زنجیره مارکوف و سلول‌های خودکار (CA-Markov)

پس از اجرای مدل زنجیره مارکوف، ماتریس احتمال انتقال به‌دست آمده که ممکن است هر نوع از پوشش زمین را در هر موقعیت مکانی در آینده پیدا کند. اگرچه احتمالات انتقال در هر کاربری دقیق زیادی دارد، اطلاعاتی از توزیع مکانی مربوط به کاربری‌ها موجود نیست؛ بنابراین، مدل تصادفی مارکوف هیچ‌گونه اطلاعات وابستگی مکانی ندارد و در مقابل شبکه خودکار عاملی است که توانایی تغییر وضعیتش را براساس به‌کارگیری قانونی که وضعیت جدید را مطابق قبلی و وضعیت همسایگان نشان می‌دهد دارد. در این بین، از فیلتر CA برای تغییر وضعیت سلول‌ها براساس وضعیت همسایه‌اش استفاده خواهد شد؛ بنابراین برای مرتفع کردن مشکلات این دو روش، از روش CA مارکوف استفاده می‌شود (ماهینی، ۱۳۸۹: ۳۵۴).

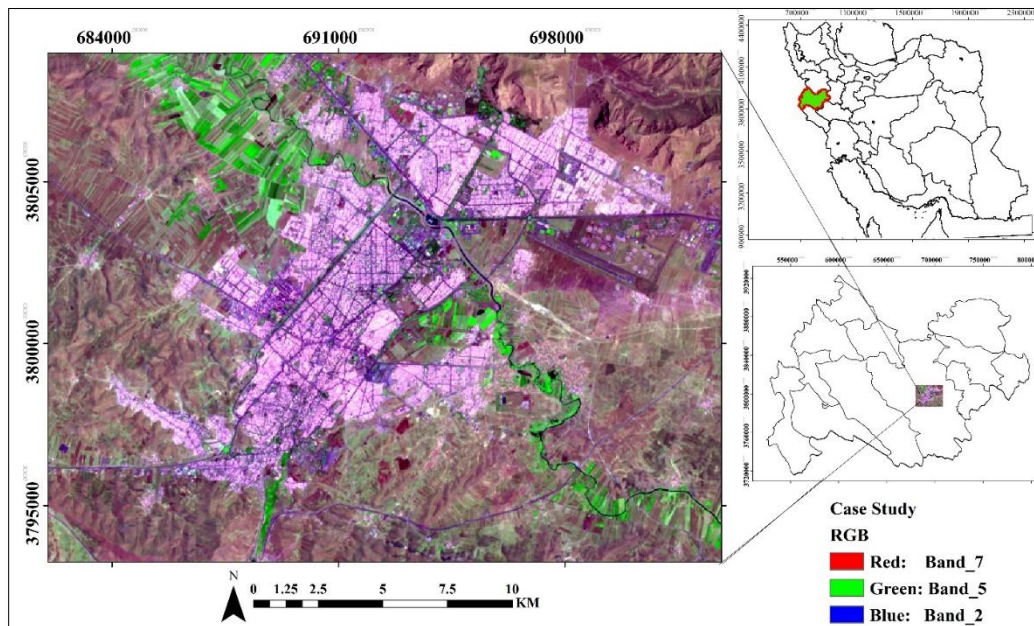
داده و محدوده مورد مطالعه

در پژوهش حاضر از داده‌های هواشناسی ایستگاه همدید کرمانشاه برای روند بارش و از تصاویر سنجنده TM و OLI ماهواره‌لنست طی دوره ۱۹۸۵-۲۰۱۳ در ماه جولای برای پایش مساحت کلاس‌های پوشش زمین اطلاعات مربوط از تصاویر نامبرده در جدول ۱ ارائه شده و درنهایت از لایه‌های GIS (ارتفاع و شبیه منطقه، فاصله از پوشش گیاهی، فاصله از نواحی ساخته شده شهری، فاصله از نواحی کوهستانی و صخره‌ای، فاصله از شبکه راه‌ها (جاده) و فاصله از رودخانه) استفاده شده است.

جدول ۱. مجموعه داده‌های سنجش از دور کاربردی در پژوهش

داده‌های سنجش از دور	تاریخ	Path: Row	تفکیک رادیومتریک	تفکیک حرارتی	تفکیک مکانی بازده‌ای مرئی و مادون قرمز	تفکیک کروماتیک بازده‌ای پن	تعداد باند
				نزدیک و میانی			
Landsat 5							
Thematic Mapper (TM)	1985	167:36	بیت ۸	۱۲۰ × ۱۲۰ m	۳۰ × ۳۰ m	ندارد	۷
Landsat 5							
Thematic Mapper (TM)	2000	167:36	بیت ۸	۱۲۰ × ۱۲۰ m	۳۰ × ۳۰ m	ندارد	۷
Landsat 8							
Operational Land Imager (OLI)	2013	167:36	بیت ۱۶	۱۰۰ × ۱۰۰ m	۳۰ × ۳۰ m	۱۵ × ۱۵ m	۱۱

شهر کرمانشاه در غرب کشور ایران، به عنوان مرکز استان کرمانشاه با موقعیت ۴۷ درجه، ۴ دقیقه شرقی و ۱۹ درجه و ۲۴ دقیقه شمالی و ارتفاع ۱۲۰۰ متر از سطح دریا اهمیتی راهبردی دارد. این شهر با جمعیت ۱۰۳۰.۹۷۸ نفر که ۸۲/۱ درصد از جمعیت شهرنشین استان را شامل می‌شود، بیشترین جمعیت شهری استان را در خود جای داده است (مرکز آمار ایران، ۱۳۹۰). در دهه‌های اخیر در این شهر شاهد رشد و توسعه فیزیکی بوده‌ایم که در جریان این توسعه بیش از ۱۰ هزار هکتار از زمین‌های کشاورزی و باغات با تعییر کاربری به زیر ساخت و ساز رفته و تخریب شده است (ثروتی، ۱۳۹۰).



شکل ۲. موقعیت شهر کرمانشاه در ایران، استان کرمانشاه و تصویر ماهواره‌ای لندست ۸ (سنجنده OLI) محدوده مورد مطالعه: ۲۰۱۵

یافته‌های پژوهش

به منظور استخراج نقشه‌های کلاس‌های پوشش زمین از تصاویر ماهواره‌ای لندست ۵ با سنجنده TM و لندست ۸ با سنجنده OLI با قدرت تفکیک ۳۰ متر استفاده می‌شود. این تصاویر به سال‌های ۱۹۸۵، ۲۰۰۰ و ۲۰۱۳، و همه به ماه جولای مربوط هستند. همان‌طور که در شکل ۱ اشاره شد مرحله اول، تهیه نقشه‌های کلاس‌های پوشش زمین تصاویر است؛ بنابراین، ابتدا بر روی تصاویر مذکور، تصحیحات اتمسفری با روش QUAC انجام شد. در ادامه این تصاویر با توجه به ویژگی‌های منطقه مورد مطالعه به کلاس‌های ساخت‌وساز شهری، جاده‌ها، اراضی کشاورزی، باغ‌ها، اراضی باир، سطوح آبی و نواحی کوهستانی و صخره‌ای تفکیک شدند. سپس برخی از کلاس‌های مختلف با هم ترکیب و درنهایت چهار کلاس استخراج شد:

۱. کلاس کاربری ساخت‌وساز شهری که از ترکیب دو کلاس جاده و کلاس ساخت‌وساز شهری است؛

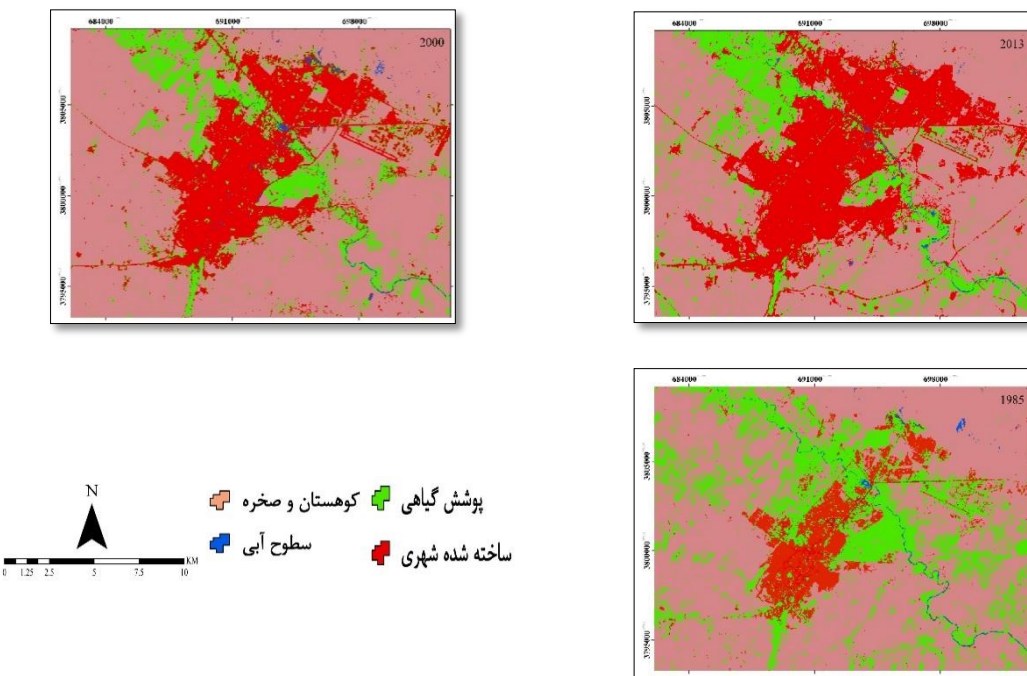
۲. کلاس پوشش گیاهی که شامل کلاس باغ، کلاس پارک و کلاس اراضی کشاورزی است؛

۳. کلاس سطوح آبی؛

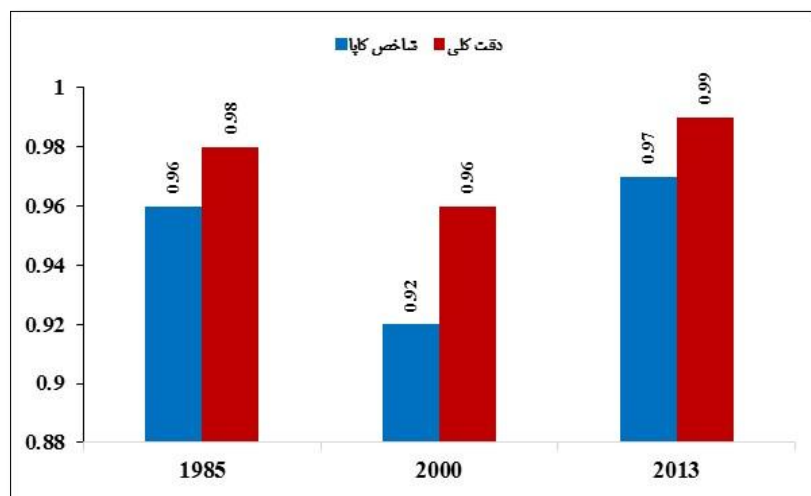
۴. کلاس کوهستان و صخره‌ای که شامل کلاس زمین‌های بایر و کلاس نواحی کوهستانی و صخره‌ای هستند.

در ادامه، تصاویر با الگوریتم حداکثر احتمال طبقه‌بندی شدند (شکل ۳).

پس از طبقه‌بندی تصاویر ماهواره‌ای با استفاده از نمونه‌های تعلیمی، صحت تصاویر طبقه‌بندی شده ارزیابی شد. نتایج مربوط به برآورد دقت طبقه‌بندی‌ها در شکل ۴ ارائه شده است. دقت طبقه‌بندی‌ها به طور کلی بیش از ۷۵٪، برای استفاده در مدل مارکوف و سلول‌های خودکار آن مناسب است (کریمی، ۱۳۹۴: ۸۳).

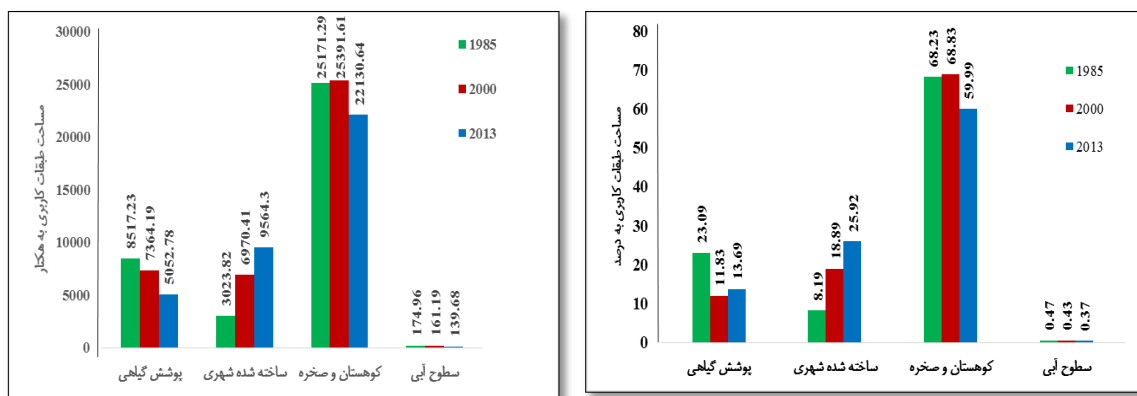


شکل ۳. نقشه‌های کلاس‌های پوشش زمین در سال‌های مورد مطالعه



شکل ۴. دقت کلی و شاخص کاپا برای سه تصویر مورد استفاده

پس از تهیه نقشه‌های کلاس‌های پوشش زمین (شکل ۱)، تغییرات و بررسی تغییرات ایجادشده طی دوره زمانی مورد مطالعه آشکار شد؛ به عبارت دیگر این مرحله تعیین میزان مساحت (هم بر حسب هکتار و هم بر حسب درصد) و میزان تغییرات کلاس‌های مختلف طی دوره‌های (هر دو دوره ۱۹۸۶-۲۰۰۰ و ۲۰۰۰-۲۰۱۳) مورد بررسی است که در شکل ۵ و جداول ۱ و ۲ نشان داده شده است. این تغییرات شامل کاهش‌ها، افزایش‌ها و تغییرات خالص برای هر کلاس و انتقال از یک کلاس به کلاس‌های دیگر است.



شکل ۵. هیستوگرام تحلیل مقایسه پس از طبقه‌بندی

جدول ۲. ماتریس تغییرات کلاس‌های پوشش زمین سال ۱۹۸۵ و ۲۰۰۰ بر مبنای هکتار

نقشه سال ۱۹۸۵						
	مجموع	سطوح آبی	کوهستان و صخره	ساختمان شده شهری	پوشش گیاهی	نقشه سال ۲۰۰۰
۴۳۶۴/۱۹	۳۶/۹	۱۸۹۱/۲۶	۶۶/۰۶	۲۳۶۹/۹۷	پوشش گیاهی	
۶۹۷۰/۴۱	۴۰/۵	۲۱۲۶/۹۷	۲۸۶۵/۹۶	۱۹۳۶/۹۸	ساختمان شده شهری	
۲۵۳۹۱/۶۱	۱۳/۲۳	۲۱۱۳۵/۸۷	۶۲/۸۲	۴۱۷۹/۶۹	کوهستان و صخره	
۱۶۱/۱۹	۸۴/۳۳	۱۷/۱۹	۲۸/۹۸	۳۰/۶۹	سطوح آبی	
۳۶۸۸۷/۴	۱۷۴/۹۶	۲۵۱۷۱/۲۹	۳۰۲۳/۸۲	۸۵۱۷/۳۳	مجموع	

جدول ۳. ماتریس تغییرات کلاس‌های پوشش زمین سال ۲۰۰۰ و ۲۰۱۳ بر مبنای هکتار

نقشه سال ۲۰۰۰						
	مجموع	سطوح آبی	کوهستان و صخره	ساختمان شده شهری	پوشش گیاهی	نقشه سال ۲۰۱۳
۲۰۵۲/۷۸	۱۷/۹۱	۲۶۵۵/۴۵	۲۶۰/۸۲	۲۱۱۸/۶	پوشش گیاهی	
۹۵۶۴/۳	۶۹/۷۵	۱۹۴۸/۸۶	۶۴۲۰/۶۹	۱۱۲۵	ساختمان شده شهری	
۲۲۱۳۰/۶۴	۲۷/۵۴	۲۰۷۷۲/۰۹	۲۵۵/۶	۱۰۷۵/۴۱	کوهستان و صخره	
۱۳۹/۶۸	۴۵/۹۹	۱۵/۲۱	۳۳/۳	۴۵/۱۸	سطوح آبی	
۳۶۸۸۷/۴	۱۶۱/۱۹	۲۵۳۹/۷۱	۶۹۷۰/۴۱	۴۳۶۴/۱۹	مجموع	

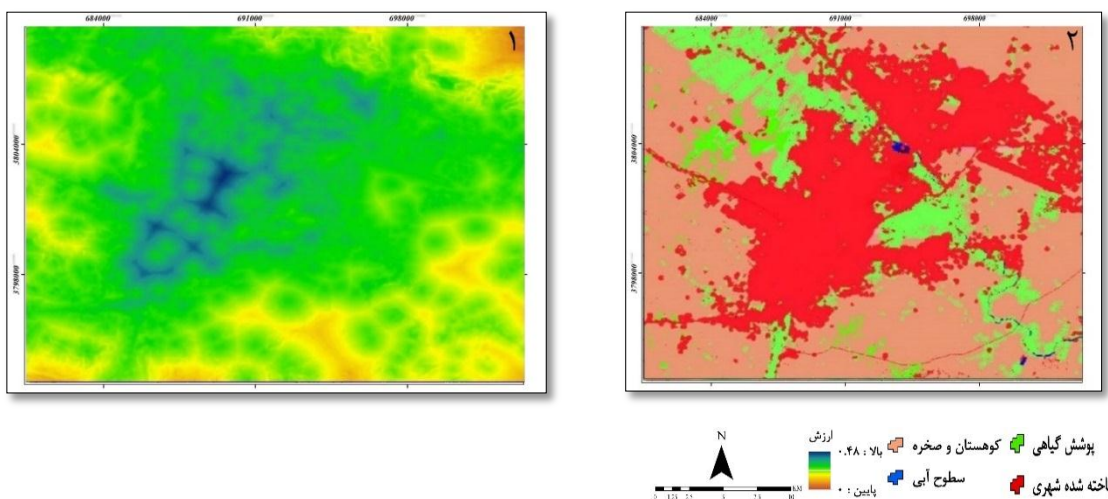
جدول ۴. میزان کل تغییرات کلاس‌های حاصل از طبقه‌بندی در طول سال‌های ۱۹۸۵-۲۰۱۳

سال/کلاس	پوشش گیاهی	ساختمان شده شهری	کوهستان و صخره	سطوح آبی
۱۹۸۵	۸۵۱۷/۳۳	۳۰۲۳/۸۲	۲۵۱۷۱/۲۹	۱۷۴/۹۶
۲۰۱۳	۲۰۵۲/۷۸	۹۵۶۴	۲۲۱۳۰/۶۴	۱۳۹/۶۸
میزان تغییرات کل	-۶۵۶۵	۶۵۴۱	-۳۰۴۱	-۳۵

رگرسیون لجستیک

با توجه به اینکه علل رشد هر شهر با سایر شهرها تفاوت‌های زیادی دارد، همچنین قوانین و مقررات ساخت‌وساز در شهرها با هم متفاوت است، تأثیرات چشمگیری در میزان و چگونگی رشد شهر مشاهده می‌شود. حال با توجه به تحقیقات پیشین و ویژگی‌های منطقه مورد نظر در دوره‌های مورد مطالعه متغیرهای مؤثر در رابطه با گسترش شهری به صورت زیر معرفی شدند:

ارتفاع و شب منطقه، فاصله از پوشش گیاهی، فاصله از نواحی ساخته شده شهری، فاصله از نواحی کوهستانی و صخره‌ای، فاصله از شبکه راه‌ها (جاده) و فاصله از رودخانه. از سوی دیگر تأثیر این پارامترها با هم یکسان نیست؛ بنابراین، باید میزان اهمیت (وزن) هر پارامتر تعیین شود که بدین منظور از مدل رگرسیون لجستیک استفاده می‌شود. منطق این مدل بر پایه دوره‌های گذشته است؛ مثلاً متغیری که تأثیر زیادی در رشد و توسعه شهر در دوره‌های گذشته مورد بررسی نداشته است، وزن کمتری در مدل سازی به آن تعلق می‌گیرد. بالعکس متغیری که تأثیر بیشتری داشته است وزن و ضریب بیشتری دریافت می‌کند. متغیرهای ذکر شده در بالا به عنوان متغیر مستقل وارد مدل رگرسیون منطقی شدند، از طرفی دیگر متغیر وابسته مدل تعییرات ایجاد شده در شهر است. درنهایت پس از آماده‌سازی متغیرهای مؤثر، مدل رگرسیون لجستیک اجرا شد که نقشه حاصل از آن در شکل ۶ مشاهده می‌شود، درواقع این نقشه، نقشه پتانسیل تعییر تناسب هر پیکسل را برای تعییر به کاربری شهری نشان می‌دهد که با استفاده از مدل رگرسیون لجستیک تولید شده است؛ به عبارت دیگر با استفاده از رگرسیون لجستیک ارتباط بین نقشه تعییر به کاربری شهری و عوامل مؤثر بر گسترش شهر بررسی و براساس آن، نقشه پتانسیل تعییر تهیه می‌شود. ارزش بالا نشان‌دهنده تناسب بیشتر هر پیکسل برای تعییر کاربری شهری است، درصورتی که ارزش پایین نشان‌دهنده تناسب و احتمال کمتر تعییر برای هر پیکسل است (عبدی، ۱۳۹۴: ۴۳۷).



شکل ۶. شبیه‌سازی گسترش شهر کرمانته برای سال ۲۰۱۳ بر اساس داده‌های ۱۹۸۵-۲۰۰۰

۱. نقشهٔ پتانسیل تغییر مستخرج رگرسیون لجستیک ۲. نقشهٔ تبیه‌سازی گسترش شهر در سال ۲۰۱۳ پس از اجرای مدل رگرسیون لجستیک به منظور پیش‌بینی تغییرات کلاس‌های پوشش زمین برای دوره ۱۳ ساله آینده (۲۰۲۶) از تحلیل زنجیره‌ای مارکوف استفاده شد. پیش‌بینی تغییرات با استفاده از تحلیل زنجیره‌ای مارکوف، بر وضعیت کلاس‌های پوشش زمین در سال ۲۰۲۶ و تغییرات زمین در دوره ۱۳ ساله قبلی بین سال‌های ۲۰۱۳ تا ۲۰۲۶ متکی است. بعد از اجرای تحلیل زنجیره‌ای مارکوف بر روی دو نقشهٔ کلاس‌های پوشش زمین به دست آمده از طبقه‌بندی تصاویر ماهواره‌ای، یک ماتریس احتمال انتقال، یک ماتریس مساحت انتقال یافته و چند تصویر شرطی ایجاد شد (جدول‌های ۵ و ۶). تصاویر احتمال شرطی حاصل از تحلیل زنجیره‌ای مارکوف که از ماتریس احتمال انتقال به دست آمده است، احتمال اینکه هر نوع پوشش زمین در هر موقعیت مکانی در آینده پیدا شود بیان می‌کند که براساس دو تصویر پوشش زمین قبلی نقشه‌سازی شده است.

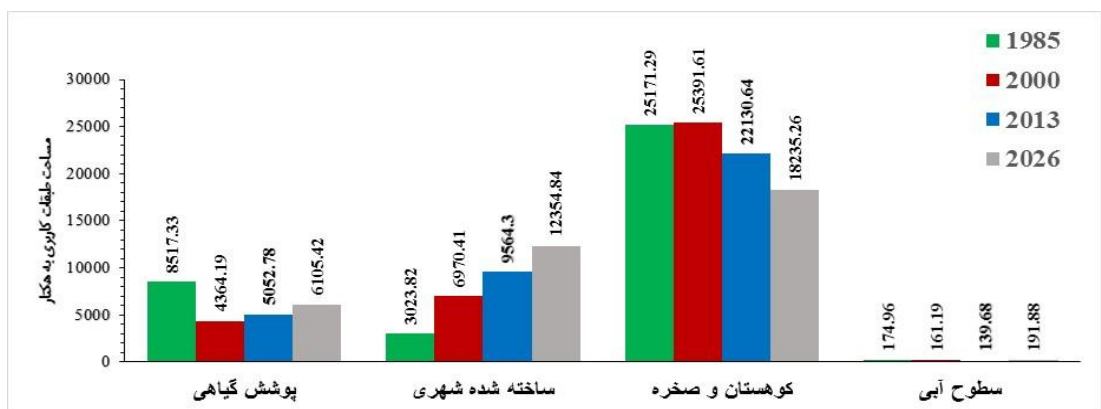
جدول ۵. ماتریس احتمال انتقال تغییر کاربری تحت مطالعه سال تا ۲۰۲۶ با استفاده از مدل زنجیره‌ای مارکوف

کاربری	پوشش گیاهی	ساخته‌شده شهری	کوهستان و صخره	سطح آبی
پوشش گیاهی	۴۳/۶۹	۳/۸۶	۱۵/۱۶	۱/۱۳
ساخته‌شده شهری	۲۸/۲۱	۹۲/۷۲	۱۱/۱۲	۲/۷
کوهستان و صخره	۲۶/۹۷	۶/۶۷	۷۳/۶۳	۰/۰۹
سطح آبی	۱/۱۳	۰/۱۷	۰/۰۹	۲۵/۶۸

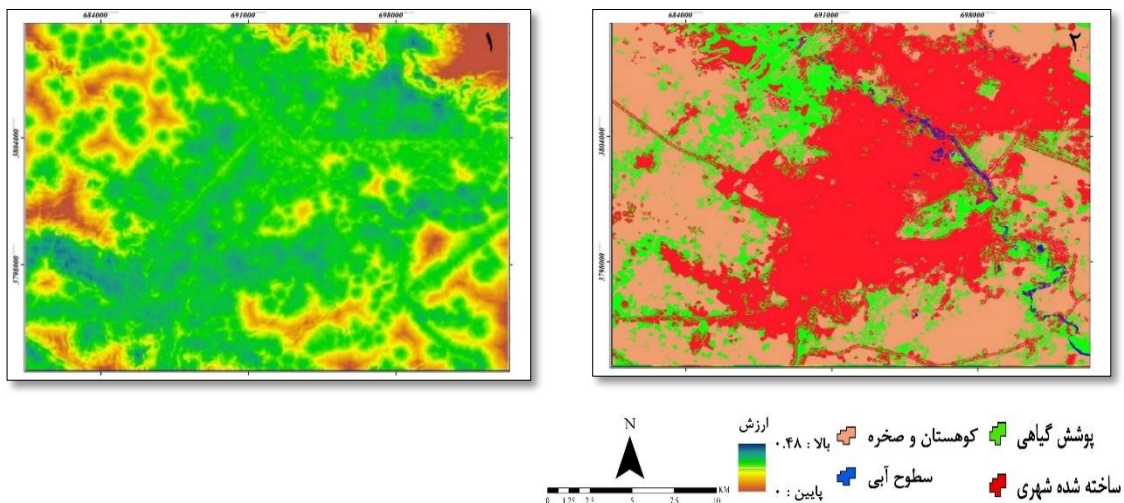
جدول ۶. ماتریس مساحت انتقال یافته تغییر کاربری تحت مطالعه سال تا ۲۰۲۶ با استفاده از مدل زنجیره‌ای مارکوف

کاربری	پوشش گیاهی	ساخته‌شده شهری	کوهستان و صخره	سطح آبی	مجموع
پوشش گیاهی	۲۲۰۷/۶۱	۱۴۲۵/۴۲	۱۳۶۲/۶	۵۷/۲۴	۵۰۵۲/۷۸
ساخته‌شده شهری	۷۷۵/۸۹	۷۹۲۹	۷۶۰/۳۲	۹۹/۰	۹۵۶۴/۳
کوهستان و صخره	۳۳۵۵/۱۱	۲۴۶۲/۳۱	۱۶۲۹۳/۹۶	۱۹/۲۶	۲۲۱۳۰/۶۴
سطح آبی	۱۶/۱۱	۶۲/۸۲	۲۴/۸۴	۳۵/۹۱	۱۳۹/۶۸
مجموع	۶۳۵۴/۷۲	۱۱۸۷۹/۵۵	۱۸۴۴۱/۷۲	۲۱۱/۵	۳۶۸۸۷/۴

پس از اجرای مدل زنجیره‌ای مارکوف، به منظور پیش‌بینی تغییرات کلاس‌های پوشش زمین با استفاده از مدل CA مارکوف، از ماتریس مساحت انتقال یافته و ترکیب تصاویر احتمال شرطی و خروجی مدل رگرسیون لجستیک استفاده شد. شکل ۸ نقشهٔ پیش‌بینی شده را برای سال ۲۰۲۶ با استفاده از مدل تلفیقی زنجیره‌ای مارکوف و CA مارکوف نشان می‌دهد. ضریب کاپای حاصل از ماتریس خطابین نقشهٔ به دست آمده از مدل سازی و نقشهٔ کلاس‌های پوشش زمین به دست آمده از تصویر ماهواره‌ای لنده است سال ۲۰۱۳، ۷۳ درصد بوده است.



شکل ۷. هیستوگرام مقایسه تغییرات کاربری در سال‌های مورد مطالعه



شکل ۸. شبیه‌سازی گسترش شهر کرمانشاه برای سال ۲۰۲۶ براساس داده‌های ۲۰۱۳-۲۰۰۰ (۱. نقشه پتانسیل تغییر مستخرج رگرسیون لجستیک ۲. نقشه شبیه‌سازی گسترش شهر در سال ۲۰۲۶)

بحث و نتیجه‌گیری

یکی از ویژگی‌های اصلی شهرهای در حال توسعه، بهویژه کلان شهرها، شهرنشینی سریع و بی‌ برنامه است که از عوامل اصلی تغییرات کلاس‌های پوشش زمین سطح کره زمین به شمار می‌رود. از آنجا که هدف نهایی برنامه‌ریزی کلاس‌های پوشش زمین ایجاد نوعی تعادل اکولوژیک و عدالت اجتماعی در روند توسعه و عمران شهری است، این امر در عمل بدون راهبردی مناسب و مدیریت قوی امکان پذیر نخواهد بود. ایجاد شبیه‌سازی دقیق از رشد آینده شهری یکی از مهم‌ترین مسائل در مطالعات شهری است که شامل مدل‌سازی فضایی است (Aburas et al., 2017); بنابراین، شناخت و ارزیابی روند تغییرات کاربری شهری و پیش‌بینی آن‌ها در هر منطقه، زمینه را برای مدیریت بهینه محیط فراهم می‌کند. درواقع، داشتن آمار و اطلاعات از کلاس‌های پوشش اراضی در گذشته و حال، همچنین میزان تغییرات این کلاس‌ها و پیش‌بینی این تغییرات یکی از مبانی لازم برای مدیریت صحیح عرصه‌های طبیعی و انسانی است.

این تغییرات شامل کاهش‌ها، افزایش‌ها و تغییرات خالص برای هر کلاس و انتقال از یک کلاس به کلاس دیگر است. میزان کلاس پوشش گیاهی در دوره اول (سال‌های ۱۹۸۶-۲۰۰۰) ۴۱۵۳ هکتار کاهش داشته و بیشتر به زمین باир بدون پوشش گیاهی (۱۸۹۱ هکتار) تبدیل شده است که از خشک‌سالی‌های مربوط به سال‌های ۱۹۹۵ و ۲۰۰۰ ناشی می‌شود؛ طوری که بارش سالانه شهر کرمانشاه از میانگین سالانه ۴۶۰ میلی‌متر به ۲۱۵/۸، ۳۱۴ و ۳۵۲ میلی‌متر کاهش یافته است. همچنین خشک‌سالی‌های مذکور بر روی کلاس سطوح آبی نیز تأثیر گذاشته و ۱۴ هکتار کاهش یافته است. در این دوره کلاس نواحی کوهستانی و صخره‌ای افزایش یافته که دلیل آن کاهش پوشش گیاهی بوده است؛ به طوری که خیلی از اراضی دارای پوشش گیاهی به اراضی بایر و بدون پوشش گیاهی تبدیل شده‌اند. این مهم سبب شده است که حدود ۴۲۰۰ هکتار کلاس نواحی کوهستانی افزایش داشته باشد. در دوره دوم (سال‌های ۲۰۱۳-۲۰۰۰) پوشش گیاهی به مقدار ۶۸۹ هکتار افزایش داشته که دلیل آن درختکاری در داخل و اطراف شهر است (گزارش منابع طبیعی و آبخیزداری شهر کرمانشاه، ۱۳۹۴)؛ زیرا در این دوره در مقایسه با دوره قبل میزان خشک‌سالی‌ها به مراتب کاهش یافته است. متقابلاً کلاس مناطق کوهستانی و صخره‌ای نیز کاهش یافته که دلیل آن کاشت درخت و ایجاد فضایی سبز در مناطق مذکور و تبدیل اراضی بایر لخت به مرتع است که این مقدار حدود هزار هکتار است، اما در این دوره سطوح آبی به مقدار ۲۲ هکتار کاهش داشته است که بیشتر به کلاس باغ و کشاورزی و کلاس ساخت‌وساز انسانی تبدیل شده است و شاید یکی از دلایل آن استفاده از کشت مکانیزه کشاورزی و حفر چاه‌های آب مجاز و غیرمجاز موجود در منطقه و پیشروی شهر باشد؛ زیرا یکی از دلایل کاهش منابع آب سطحی حفر چاه‌های آب است. در ادامه، نوبت به بررسی پیشروی شهر به سمت محیط اطراف می‌رسد؛ بدین منظور کلاس ساخت‌وساز شهری را بازنگری می‌کنیم. در دوره اول حدود ۳۹۰۰ هکتار به مساحت شهر اضافه شده که در این مدت بیشتر زمین‌های بایر، کشاورزی و باغات به زیر ساخت‌وساز رفته‌اند. در دوره دوم هم حدوداً ۲۶۰۰ هکتار شهر به اطراف پیشروی داشته و به عبارت دیگر ۲۶۰۰ هکتار به مساحت شهر اضافه شده است. بیشتر اراضی بایر و تپه‌ها نیز به مکان شهری تبدیل شده است که هر دو دوره نشان از رشد زیاد توسعه کلان شهر کرمانشاه دارد. در کل دوره ۲۸ ساله مورد بررسی، میزان کلاس پوشش گیاهی و کلاس ساخت‌وساز شهری تغییرات زیادی در مقایسه با دو کلاس دیگر داشته‌اند؛ به طوری که ۶۵۶۵ هکتار از مساحت کلاس پوشش گیاهی کاهش، و کلاس اراضی ساخته‌شده شهری به میزان ۶۵۴۱ هکتار افزایش مساحت داشته و با رشد و توسعه شهری همراه بوده است که اولی بیشتر به دلیل خشک‌سالی‌های موجود در این بازه زمانی بوده و دلیل دومی هم رشد سریع جمعیت شهری و توسعه آن بوده است. در ادامه به منظور پیش‌بینی در سال ۲۰۲۶ که براساس تحلیل زنجیره‌ای مارکوف انجام شد، ۱۴۲۵ هکتار (۳/۸۶ درصد) از پوشش گیاهی، ۲۴۶۲ هکتار (۶/۶۷ درصد) از مناطق کوهستانی و صخره‌ای و ۶۲ هکتار (۰/۱۷ درصد) از سطوح آبی به کاربری شهری تبدیل خواهد شد. از سوی دیگر نتایج پیش‌بینی تغییرات با استفاده از روش سلوک‌های خودکار نشان داد که بیشترین تغییرات با توجه به روند گذشته در مناطق ساخته‌شده شهری اتفاق خواهد افتاد؛ به طوری که این کاربری شهری در سال ۲۰۱۳ به ۱۲۳۵۵ در سال ۲۰۲۶ خواهد رسید و ۲۷۹۰ هکتار افزایش خواهد داشت. بعد از کاربری مذکور با توجه به نتایج مدل، مناطق پوشش گیاهی نیز به مقدار ۱۰۵۳ هکتار در مقایسه با سال ۲۰۱۳ افزایش خواهد داشت (البته طرح جنگل‌کاری شهر کرمانشاه از سوی

سازمان پارک‌ها و فضای سبز شهرداری کرمانشاه در حال اجراست، ۱۳۹۴). متقابلاً مناطق کوهستانی و صخره‌ای به دلیل افزایش پوشش گیاهی (ایجاد فضایی سبز و کاشت درخت) از لخت بودن خارج خواهد شد و سطح مناطق کاربری آن کاهش می‌باید، اما در سال ۲۰۲۶ سطوح آبی در حدود ۵۲ هکتار بیشتر می‌شود و چون بیشتر این سطوح آبی اضافه شده در محدوده رودخانه قره‌سو است می‌توان گفت که ممکن است به دلیل تخلیه حجم عظیمی از شبکه فاضلاب‌های خانگی وارد رودخانه قره‌سو، و سبب افزایش این طبقه شده است.

پژوهش حاضر با هدف پیش‌بینی روند توسعه شهر کرمانشاه برای برنامه‌ریزی منسجم به منظور توسعه آتی این شهر با استفاده از مدل‌های پیش‌بینی صورت گرفت و برای این کار از تصاویر ماهواره‌ای استفاده شد. باید توجه داشت توسعه فیزیکی شهر کرمانشاه زمانی مؤثر است که به صورت کنترل شده و هدایت شده صورت بگیرد و قبل از مکان‌گزینی آن‌ها، گزینه‌های مناسب بدین منظور بررسی و ارزیابی شود. با استفاده از چنین نتایجی در طرح‌ها و تصمیم‌گیری‌های شهر کرمانشاه می‌توان از گسترش شهر به سمت نواحی نامناسب برای استقرار در آینده، و درنهایت از بروز مشکلات ناخواسته زیست محیطی و اقتصادی جلوگیری کرد. نتایج این مطالعه گویای آن است که تلفیق فنون سنجش از دور و سیستم‌های اطلاعات جغرافیایی در اجرای مدل‌های ارزیابی تغییرات مکانی-زمانی کلاس‌های پوشش زمین و پیش‌بینی، به منظور آگاهی از نوع و درصد کلاس‌های پوشش زمین و میزان تغییرات آن‌ها، در منابع طبیعی، انسانی و بخش‌های دیگر بسیار کارآمد است. در این بین، هدف مدل‌سازی انجام‌شده کمک به طراحان شهری و سایر پژوهشگران است تا بتوانند وضعیت محدوده شهرها و دیگر تغییرات کلاس‌های پوشش زمین را در آینده پیش‌بینی کنند. از سوی دیگر، رشد برنامه‌ریزی شده شهر و کنترل آن با استفاده از مشخصه‌های فوق در میزان هزینه‌های عمرانی و زیستمحیطی نیز صرفه‌جویی کند.

منابع

احدیزاد، محسن، قاسمی، اکرم و لیلا کاظمی (۱۳۹۲)، «استفاده از الگوی راهبردی توسعه شهری در برنامه ریزی کاربری فضای سبز (مطالعهٔ موردی: منطقهٔ یک شهر زنجان)»، *فصلنامه جغرافیا و برنامه‌ریزی چشم‌انداز زاگرس*، سال ۶، شماره ۱۹، ۲۱-۷.

باقری، رضا و شتایی جویباری، شعبانی (۱۳۸۹)، «مدل سازی کاهش گستردگی جنگل با استفاده از رگرسیون‌جستیک (مطالعهٔ موردی: حوضهٔ آبخیز چهل‌چای استان گلستان)»، *جنگل ایران*، دوره ۲، شماره ۳، صص ۲۴۳-۲۵۲.

برات‌علی، خاکپور، ملک‌پور، محسن و کیومرث ایران‌دوست (۱۳۹۰)، نقش مهاجرت روستا-شهری در توسعهٔ فیزیکی بدون برنامه شهر کرمانشاه، پایان‌نامهٔ دانشگاه فردوسی مشهد.

ثروتی، محمدرضا و همکاران (۱۳۹۰)، بررسی روند شهرنشینی و توسعهٔ فیزیکی شهر کرمانشاه، نخستین همایش ملی آرمان شهر ایران، نور، دانشگاه آزاد اسلامی واحد نور.

جلبیان، امیرحسین و محمود سلطانیان (۱۳۹۵)، «ارزیابی و پیش‌بینی تغییرات بیابان‌زایی در شرق و جنوب اصفهان با مدل CA-Markov»، *نشریهٔ تحلیل فضایی مخاطرات محیطی*، سال سوم، شماره ۴، صص ۷۱-۸۸.

زنگنه شهرکی، سعید، کاظم‌زاده، علی و سیروس هاشمی دره بادامی (۱۳۹۳)، «تحلیل زمانی-مکانی گسترش کالبدی شهر مشهد و پایش تغییرات کاربری اراضی اطراف»، *جغرافیای برنامه‌ریزی شهری*، دوره ۲، شماره ۴، صص ۴۸۳-۴۹۹.

سرودی، مونا و سیدعلی جوزی (۱۳۹۰)، «پیش‌بینی تغییرات پوشش گیاهی با استفاده از مدل مارکوف (مطالعهٔ موردی: منطقهٔ شهرداری تهران)»، *کاربرد سنجش‌ازدor و GIS در علوم منابع طبیعی*، شماره ۲، صص ۸۳-۹۶.

صیدی‌لو، محمود، امینی، الهام و فرهاد حمزه (۱۳۹۵)، ارزیابی گسترش فیزیکی شهر رباط‌کریم و تأثیر آن بر روی اراضی کشاورزی با استفاده از فناوری سنجش‌ازدor و سیستم اطلاعات جغرافیایی، *کنفرانس بین‌المللی مهندس معماری و شهرسازی*، تهران.

عبدی، ناصح و همکاران (۱۳۹۴)، «ارزیابی و پیش‌بینی مسیر بهینه گسترش شهری سنتندج با استفاده از سلول‌های خودکار-مارکوف»، *پژوهش‌های جغرافیای برنامه‌ریزی شهری*، دوره ۳، شماره ۴، صص ۴۳۱-۴۴۶.

عزیزی قلاتی و همکاران (۱۳۹۵)، «پیش‌بینی روند تغییرات مکانی کاربری اراضی با استفاده از مدل زنجیره مارکوف-CA (مطالعهٔ موردی: منطقهٔ کوهمره سرخی استان فارس)»، *سنجش‌ازدor و سامانهٔ اطلاعات جغرافیایی در منابع طبیعی*، شماره ۱، صص ۵۹-۷۱.

علی‌محمدی سراب و همکاران (۱۳۸۹) «ارزیابی کارایی مدل سلول‌های خودکار در شبیه‌سازی گسترش اراضی شهری در حومهٔ جنوب غرب تهران»، *برنامه‌ریزی و آمایش فضا (مدرس علوم انسانی)*، شماره ۲، صص ۸۱-۱۰۲.

فلاحت کار، سامره و همکاران (۱۳۸۸)، بررسی توانایی مدل CA مارکوف در پیش‌بینی نقشهٔ پوشش اراضی (مطالعهٔ موردی: شهر اصفهان)، *همایش ژئوتکنیک* ۸۸، تهران، سازمان نقشه‌برداری کشور.

کاظم، امیرحسین، حسینعلی، فرهاد و علی اصغر آل شیخ (۱۳۹۴)، «مدل سازی رشد شهری با استفاده از تصاویر ماهواره‌ای متوسط مقیاس و مبتنی بر روش خودکاره‌های سلولی (مطالعهٔ موردی: شهر تهران)»، *فصلنامه علمی-پژوهشی اطلاعات جغرافیایی*، دوره ۲۴، شماره ۹۴، صص ۴۴-۵۸.

کاوه، ندا و عطاءالله ابراهیمی (۱۳۹۲)، «پیش‌بینی تغییرات کاربری/پوشش اراضی با مدل CA مارکوف (مطالعهٔ موردی: رودخانه آقلاغ)»، *کاربرد سنجش‌ازدor و GIS در علوم منابع طبیعی*، شماره ۲، صص ۴۱-۵۱.

کریمی، کامران و چوقی بایرام کمکی (۱۳۹۴)، «پایش، ارزیابی و پیش‌بینی روند تغییرات مکانی کاربری اراضی/پوشش زمین با استفاده از مدل زنجیره‌ای مارکوف»، سنجش از دور و دور سامانه اطلاعات جغرافیایی در منابع طبیعی، سال ۶ شماره ۲، صص ۷۵-۸۸.

ماهینی، عبدالرسول (مترجم)، کامیاب، حمیدرضا (مترجم)، رونالد ایستمن، ج (۱۳۸۹)، سنجش از دور و سامانه‌های اطلاعات جغرافیایی کاربردی با نرم‌افزار ایدریسی، تهران، نشر مهر مهدیس.

میرزایی‌زاده، وحید، نیک‌نژاد، اولادی قادرکلابی، جعفر (۱۳۹۴)، «ارزیابی الگوریتم‌های طبقه‌بندی نظارت شده غیرپارامتریک در تهیه نقشه پوشش زمین با استفاده از تصاویر لندست ۸» سنجش از دور و سامانه اطلاعات جغرافیایی در منابع طبیعی، سال ۶ شماره ۳، صص ۲۹-۴۴.

Asanjani, J.J, Helbich, M, Kainz, W, and Darvishi Boloorani, A, (2013), Integration of regression, Markov chain and cellular automata models to simulate urban expansion. International Journal of Applied Earth Observation and Geo information, No. 2: 265-275.

Coppin, P; Jonckheere, I; Nackaerts, K; Muys, B; (2004), *Digital change detection methods in ecosystem monitoring*, International Journal of RemoteSensing, Vol. 25, No. 9: 1565-1596.

Dai, F.C, and Lee, CF, (2002), Landslid characteristics and slope instability modeling using GIS, Lantau Isiand, Hong kong. Geomorphology. NO.4: 213-228.

Dawelbait, M, and Morai, F, (2012), Monitoring desertification in a savannah region in Sudan using Landsat images and spectral mixture analysis. Journal of Arid Environments. 8: 45-55.

Deep, SH; Saklani, A, (2014), Urban sprawl modeling using cellular automata. The Egyptian Journal of Remote Sensing and Space Sciences. No.17, 179-187.

Doygun, H, (2008), Effects of urban sprawl on agricultural land: a case study of Kahramanmaras, Turkey. Environ Monit Assess, No. 1: 471-478.

Feyisa, G.L; Meilby, H, Jenerette, G.D, and Pauliet, S, (2016), locally optimized separability enhancement indices for urban land cover mapping: Exploring thermal environmental consequences of rapid urbanization in Addis Ababa, Ethiopia. Remote Sensing of Environment, No. 1: 14-31.

Jensen, J. R; (2005), Introductory digital image processing: A remote sensing perspective (3rd Edn), Upper Saddle River, NJ: Prentice-Hall.

Jensen, J.R, (2007), Remote Sensing of the Environment: An Earth Resource Perspective, Pearson Prentice Hall, p: 592.

Koomen, E; Stillwell, J; Bakema, A; and Scholten, H.J (2007), Modelling Land-use Change, Progress and Applications, Netherlands, Springer, p: 410.

Lu, D; Mausel, P; Brondizio, E; Moran, E, (2004), *Change detection techniques*, International Journal of Remote sensing, Vol. 25, No.12: 2365- 2401.

Mayes, M.T, Mustard, J.F. and Melillo, J.M, (2015), Forest cover change in Miombo Woodlands: Modeling land cover of Africa dry tropical forests with linear spectral mixture analysis. Remote Sensing of Environment. No.165: 203-215.

Mitsova, D; Shuster, W; Wang, X, (2011), A cellular automata model of land cover change to integrate urban growth with open space conservation, Landscape and Urban Planning, Vol. 99, No. 2: 141-153.

- Nouri, J; Gharagozlou, A; and Arjmandi, R, (2014), Predicting urban Land Use Changes Using a CA-Markov Model. Research ARTICLE – Earth Sciences. 1-9.
- Rowbotham, D.N; and Dudycha, D, (1998), GIS modelling of slope stability in Phewa Tal watershed, Nepal. Geomorphology, No. 2: 151-170.
- Sang, L; Zhang, C; Yang, J; Zhu, D; Yun, W, (2011), Simulation of land use spatial pattern of towns and villages based on CA-Markov model, Mathematical and Computer Modelling, Vol. 54, No.3: 938-943.
- Wolfram, Stephen. (1984), "Cellular automata as models of complexity." *Nature*311.5: 419-424.
- Weng, Q, (2022), *Land use change analysis in the remote sensing, GIS and stochastic modelling*, Journal of Environmental Management, Vol.64, No. 3: 273-284.
- Wyman, M. S; Stein, T.V; (2010), Modeling social and land-use/land-cover change data to assess drivers of smallholder deforestation in Belize, Applied Geography,Vol. 30, No.3: 329-342.
- Wu, Qiong, Li, Hong-qing, Wang, Ru-song, Paulussen, Juergen, He, Yong, Wang, Min, Wang, Bi-hui, Wang, zhen (2006), Monitoring and predicting land use change in Beijing using remote sensing and GIS, Landscape and urban planning, Article in press.
- Marwa Waseem A. Halmy, Paul E. Gessler, Jeffrey A. Hicke, Boshra B. Salem (2015), Land use/land cover change detection and prediction in the north-western coastal desert of Egypt using Markov-CA. Applied Geography No.6: 101-112.
- Aburas M. M, Hoa Y. M, Ramlib M. F, Ash'aari Z. H. (2017), Improving the capability of an integrated CA-Markov model to simulate spatio-temporal urban growth trends using an Analytical Hierarchy Process and Frequency Ratio. International Journal of Applied Earth Observation and Geoinformation, NO. 5: 65-78.
- Yang X, Zheng X. O, Chen R. (2014), A land use change model: Integrating landscape pattern indexes andMarkov-CA. Ecological Modelling No.2: 1–7.
- Gonga W, Yuanb L, Fanc W, StottdaCollege Ph. Analysis and simulation of land use spatial pattern in Harbin prefecture based on trajectories and cellular automata—Markov modelling. International Journal of Applied Earth Observation and Geoinformation, No. 3: 207–216.
- u Han, Haifeng Jia. (2016), Simulating the spatial dynamics of urban growth with an integrated modeling approach: A case study of Foshan, China. Ecological Modelling No.3: 107–116.
- Ghosh P, Mukhopadhyay A, Chanda A, Mondal P, Akhand A, Mukherjee S, Nayak S.K, Ghosh S, Mitra D, Ghosh T, Hazra S. Application of Cellular automata and Markov-chain model in geospatial environmental modeling- A review. Remote Sensing Applications: Society and Environment No.5: 64–77.